

Ча

СИБИРСКОЕ ОТДЕЛЕНИЕ АН СССР
ИНСТИТУТ ЯДЕРНОЙ ФИЗИКИ

Г.Е.Векштейн, В.А.Гапонов

ПРИНЦИПИАЛЬНАЯ ПРОРАБОТКА
УСТРОЙСТВА ГИРОРЕЛАКСАЦИОННОГО
НАГРЕВА ЭЛЕКТРОНОВ В УСТАНОВКЕ
"АМБАЛ"

ПРЕПРИНТ 80-144



Новосибирск

ПРИНЦИПИАЛЬНАЯ ПРОРАБОТКА УСТРОЙСТВА
ГИРОРЕЛАКСАЦИОННОГО НАГРЕВА ЭЛЕКТРОНОВ В
УСТАНОВКЕ "АМБАЛ"

Г.Е.Векштейн, В.А.Гапонов

Сооружаемая в настоящее время в ИЯФ СО АН СССР установка "АМБАЛ" предназначена для экспериментальной проверки идеи подавления потерь плазмы вдоль магнитного поля амбиполярными электрическими полями [1]. Такие амбиполярные плазменные ловушки представляют собой систему из трех пробкотронов, соединенных торцами. Если за счет инжекции плотность плазмы в крайних пробкотронах n_K поддерживается большей плотности плазмы в центральном пробкотроне n_0 , то между центральным и крайними пробкотронами возникает разность потенциалов $\Delta\Phi = T_e \ln n_K/n_0$, препятствующая уходу ионов плазмы из центрального пробкотрона. Численные расчеты, учитывающие классические кулоновские столкновения электронов и ионов, дают такие значения параметров плазмы в установке "АМБАЛ" [2]:
 $n_K \approx 2 \cdot 3 \cdot 10^{13} \text{ см}^{-3}$, $n_0 \approx 10^{13} \text{ см}^{-3}$; $\langle W_{ik} \rangle$ - (средняя энергия в крайних пробкотронах) $\approx 20 \text{ кэВ}$; $T_{i0} \approx 0,5 \text{ кэВ}$; $T_e \approx 1 \text{ кэВ}$. Такая электронная температура устанавливается в результате баланса между нагревом электронов от горячих ионов в крайних пробкотронах, с одной стороны, а с другой - охлаждением на ионах в центральном пробкотроне и выносом энергии электронами, покидающими ловушку.

Поскольку физика удержания плазмы в такой ловушке очень чувствительна к величине электронной температуры T_e , то для моделирования реакторных условий желательно иметь возможность независимого её изменения с помощью дополнительного нагрева электронов. Кроме того, при достаточно мощном дополнительном нагреве электронов делается излишним их нагрев в крайних пробкотронах, что позволяет

уменьшить энергию инжектируемых туда ионов и, следовательно, снизить магнитное поле в крайних пробкотронах [1].

Всё это инициировало рассмотрение различных возможностей нагрева электронов в установке "АМБАЛ", и, как заметил Д.Д.Рютов, здесь может быть полезен давно известный гирорелаксационный метод нагрева плазмы (см., например, обзор [3]).

При изменении величины магнитного поля в плазме с частотой, много меньшей циклотронной, у заряженных частиц сохраняется адиабатический инвариант $M = mV^2/2B$, так что переменное магнитное поле меняет поперечную энергию частиц. Из-за кулоновских столкновений часть поперечной энергии переходят в продольную, и в результате при периодическом изменении магнитного поля происходит постоянная диссиpация энергии. Соответствующие вычисления приведены в [4], где для поглощаемой электронами в единице объема мощности Q_e получены следующие формулы:

$$Q_e = \frac{\pi T_e}{\tau_e} \left(\frac{\delta B}{B_0} \right)^2 F_e(\omega \tau_e) \quad (1)$$

где магнитное поле в плазме $B = B_0 + \delta B \cos \omega t$,

$\tau_e \approx 2,2 \cdot 10^{-3} T_e^{3/2} (\text{эв}) [10^{13}/\text{л см}^3]$ (сек) — время рассеяния электронов, а $F(x) = 0,09x^4 + 1,37x^2/x^4 + 2,71x^2 + 108$ (график этой функции приведен на рис.1). Из рисунка видно, что оптимальной частотой изменения поля является $\omega = \omega_* \approx 2/\tau_e$.

При $N_0 = 10^{13} \text{ см}^{-3}$ и $T_e = 1 \text{ кэВ}$ это соответствует $f_* = \omega_*/2\pi \approx 5 \text{ кГц}$. Не исключено, однако, что из-за дополнительных энергопотерь температура электронов может оказаться ниже (так, например, в аналогичной "АМБАЛу" американской установке "TMX" $T_e \leq 200 \text{ эВ}$). При $T_e = 200 \text{ эВ}$ $f_* \approx 50 \text{ кГц}$. В этом диапазоне частот (5-50 кГц) в качестве генератора может быть использован статический преобразователь частоты на тиристорах ТЧ мощностью до 1 МВт. В приводимых ниже оценках мы будем ориентироваться на частоту $f \approx 25 \text{ кГц}$.

Схема устройства гирорелаксационного нагрева электронов показана на рис.2. Она выбиралась такой, чтобы её можно было использовать в уже спроектированной и находя-

щейся сейчас в стадии изготовления конструкции установки "АМБАЛ". Поскольку в эту конструкцию не закладывалась возможность такого дополнительного подогрева электронов, она оказывается далеко не оптимальной, так что относительная передача энергии от **ГЕНЕРАТОРА** к

плазме мала ($\approx 5 \cdot 10^{-2}$). Источник повышенной частоты ($\approx 25 \text{ кГц}$) подключается к индуктору 2, представляющему собой маловитковый соленоид (на рис.2 условно изображен в виде цилиндра). Из-за низкой эффективности нагрева плазмы необходима высокая добротность колебательного контура, для чего параллельно индуктору подключается соответствующая емкость, а сам индуктор должен иметь малые потери, так как ими прежде всего определяется добротность контура (добротность емкости может быть очень большой, $\sim 10^4$). Однако высокие вакуумные условия в установке сильно ограничивают возможности конструирования индуктора. Наилучшим в вакуумном отношении является однослойный соленоид из чистой меди. Рассмотрим добротность такого устройства (рис.2). По конфигурации магнитного поля его можно разбить на три участка. На участках I и III поле плоско-параллельное. Криволинейное поле у кромок индуктора (уч.П) можно аппроксимировать коаксиальной линией (рис.2в). Определим добротность каждого из этих участков:

$Q = L\omega/R$, где L — индуктивность, а R — сопротивление участка. Для плоско-параллельного поля

$L = \mu_0 h$, где h — зазор между противоположными шинами: $h = R_k - R_u$ (см.рис. 2б); $R = 2\delta/\delta$, где $\delta = \sqrt{2\mu_0\omega}$ — скин-слой (все шины из одинакового материала). Отсюда $Q_3 = \mu_0 h \delta \omega / 2R = h/\delta = R_k - R_u/\delta$,

$Q_1 = R_u/\delta$. Для коаксиальной линии $L = \mu_0/2\pi \ln R/r$, $R = \frac{\delta}{2\pi} \frac{R+r}{R-r}$, откуда $Q_2 = \frac{2}{\delta} \frac{R-r}{R+r} \ln R/r$.

Участок П является нерабочим, поэтому здесь нас интересует не добротность, а минимальные потери. Поскольку рабочей частью (1) задан магнитный поток Φ , то энергия поля в области П $W_2 = \Phi^2/2L_2 = \Phi^2/2\mu_0 R_u \ln R/r$, а потери на кромках $P_2 = W_2 \omega / Q_2 = \Phi^2 \omega \delta (R+r)/4\mu_0 R_u R r (\ln R/r)^2$. Из условия минимума потерь находим радиус кромок: $r \approx 0,1R$.

Размещение индуктора во внутренней камере установки "АМБАЛ" и его основные размеры показаны на рис.3. Внутренний радиус индуктора $R_{u1} = 32$ см, наружный -

$R_{u2} = 33$ см. Высота индуктора $\mathcal{L} = 48$ см, радиус кромок $\tau \approx 1$ см. Учитывая приближенный характер расчетов, камеру в области индуктора аппроксимируем цилиндром с радиусом $R_k = 46$ см. Относительное распределение энергий магнитного поля по трем участкам:

$$W_1 = \Phi^2/2L_1 = \Phi^2 \mathcal{L} / 2\mu_0 \pi R_{u1}^2; \quad W_2 = \Phi^2/2\mu_0 R_{u1} \ln R_k / \tau; \quad ;$$

$W_3 = \Phi^2 \mathcal{L} / 2\mu_0 \pi (R_k^2 - R_{u2}^2)$; при указанных параметрах оказывается примерно равномерным: $W_1 \approx W_2 \approx W_3 = 1/3 W$. Учитывая, что при частоте 25 кГц и температуре около 50°C толщина скин-слоя в меди $\delta \approx 0,5$ мм, из приведенных выше формул находим добротность отдельных участков: $Q_1 \approx 640$, $Q_2 \approx 80$, $Q_3 \approx 260$. Суммарная добротность индуктора в камере Q_u определяется из соотношения: $Q_u^{-1} = (Q_1^{-1} + Q_2^{-1} + Q_3^{-1})/3 \approx 6 \cdot 10^{-3}$, т.е. $Q_u \approx 167$.

Основные потери происходят на кромках индуктора и составляют около 75% от общих потерь. Так как поверхность кромок мала, это может привести к их перегреву и возникновению больших термических напряжений. Пусть, например, на кромках выделяется в виде тепла мощность 0,5 МВт в течение времени $\Delta t = 0,5$ сек. При тепловом скине

$\delta_T = \sqrt{\Delta t \lambda / c_v} \approx 0,7$ см перегрев $\theta \approx 70^\circ\text{C}$ за импульс, а соответствующее механическое напряжение

$\sigma_b = \theta \cdot \alpha E \approx 70 \cdot 17 \cdot 10^{-6} \cdot 10^6 \approx 1200 \text{ кГ/см}^2$ (α - коэффициент линейного расширения меди, E - ее модуль упругости). Как видно, термические напряжения очень велики. Поэтому кромки индуктора следует выполнять из хромистой бронзы. Напряжения можно несколько снизить за счет увеличения радиуса кромок, например, до 2 см. При длительности импульса 0,1 сек особых проблем с кромками уже не возникает. Лучшим, по-видимому, решением будет выполнение кромок в виде катушек, как это показано на рис.4. Такие катушки позволят увеличить добротность кромок в не-

олько раз. В результате потери в них резко сократятся и, соответственно, возрастет к.п.д. нагрева плазмы. Кроме того, катушки могут расширяться при нагреве, не вызывая больших механических напряжений.

Определим теперь мощность, поглощаемую плазмой (электронами). Пусть добротность контура $Q_k = 100$, что легко осуществимо при самой простой конструкции индуктора ($Q_u = 167$) и конусных конденсаторах ($Q_c \approx 300$). Тогда реактивная мощность в системе $P_p = 10^8 \text{ Вт}$, а в плазме $P_p' \approx P_p \cdot K (R_n/R_u)^2 / 3$, где $1/3$ - доля мощности в центральной части индуктора, $K \approx 0,8$ - коэффициент, учитывающий ослабление поля к оси из-за малой длины индуктора, $R_n = 25$ см - радиус плазмы,

$R_u = 32$ см - радиус индуктора. Отсюда

$P_p' \approx 1,6 \cdot 10^7 \text{ Вт}$. Так как удельная реактивная мощность $P_p'/V = \omega (fB)^2 / 8\pi$, то из формулы (1) следует, что относительное поглощение $Q_e V / P_p' = 8\pi n T_e / B_0^2 \cdot f_e (w T_e) / w \tau_e = \beta_e f_e (w T_e) / w \tau_e$. При электронной температуре $T_e = 200$ эВ, плотности плазмы $n \approx 10^{13} \text{ см}^{-3}$ и магнитном поле в центральной части установки $B_0 \approx 1,5 \cdot 10^3 \text{ Гс}$ величина $\beta_e \approx 3,5 \cdot 10^{-2}$, а $w \tau_e \approx 0,97$ (напомним, что $f = \omega / 2\pi = 25$ кГц). Отсюда полная мощность, поглощаемая электронами,

$W_e \approx 56 \text{ кВт}$. Эта величина сравнима с мощностью, приобретаемой электронами в крайних пробкотронах установки "АМБАЛ" [2], так что такой подогрев электронов должен существенно повысить их температуру. Применяя катушки на кромках и более высокодобротные конденсаторы, можно, наверное, увеличить рассеяние мощности в плазме до 80-100 кВт. Правда, здесь уже наступают ограничения по пульсациям радиуса плазменного шнура. Амплитуда пульсаций δR_n связана с амплитудой переменного магнитного поля δB соотношением: $\delta R_n / R_n = \delta B / 2B_0$. При

$P_p' = 1,6 \cdot 10^7 \text{ Вт}$ $\delta B \approx 0,5 \text{ кГс}$, так что

$\delta R_n / R_n \approx 0,17$. А увеличить радиус индуктора в существующей вакуумной камере установки почти невозможно.

Существенный прогресс в повышении эффективности

гиорелаксационного метода нагрева плазмы может быть достигнут только при разработке специальных камер и индукторов. Одна из возможных конструкций показана на рис.5. За счет удлинения индуктора можно охватить больший объем плазмы и уменьшить роль кромок. Благодаря большой камере резко снижается мощность в обратном магнитном потоке. Добротность на основных участках (1 и Ш, рис.2) здесь порядка 700 ± 800 , а на кромках – 300 ± 400 . Существенного увеличения добротности на кромках можно добиться с помощью катушек, намотанных специальным проводом (кабелем) типа лицендрат (рис.6). Они должны быть пропитаны, например, эпоксидным компаундом. Высокие вакуумные характеристики можно получить, в частности, следующими способами: (рис.6а) на поверхность катушки в вакууме нанести соответствующее покрытие; (рис.6б) катушку поместить в стеклянный торт 5, который может откачиваться форвакуумным насосом.

Особенно высокой добротности колебательного контура (больше 10^3) можно достигнуть на устройстве, изображенном на рис.7. Здесь индуктор расположен в отдельной полости с не очень высоким вакуумом. Благодаря этому существенно упрощается изготовление всей силовой цепи: обмоток, вводов и т.п. Конденсатор можно использовать газовый, имеющий добротность больше 10^4 . В этом устройстве более половины мощности генератора ($> 0,5$ МВт) будет передаваться в плазму.

В заключение авторы выражают свою благодарность Д.Д.Рютову, по инициативе которого была выполнена эта работа, и Г.И.Димову за многочисленные полезные обсуждения.

Л и т е р а т у р а

- [1] Г.И.Димов. и др. "Физика плазмы", 2, 597, 1976.
- [2] Г.И.Димов. Препринт ИЯФ СО АН СССР, 77-46, 1977.
- [3] С.И.Брагинский. В сб. "Вопросы теории плазмы", т.1, стр.183, 1963.
- [4] Г.Е.Векштейн. Препринт ИЯФ СО АН СССР, 80-1980.

-119,

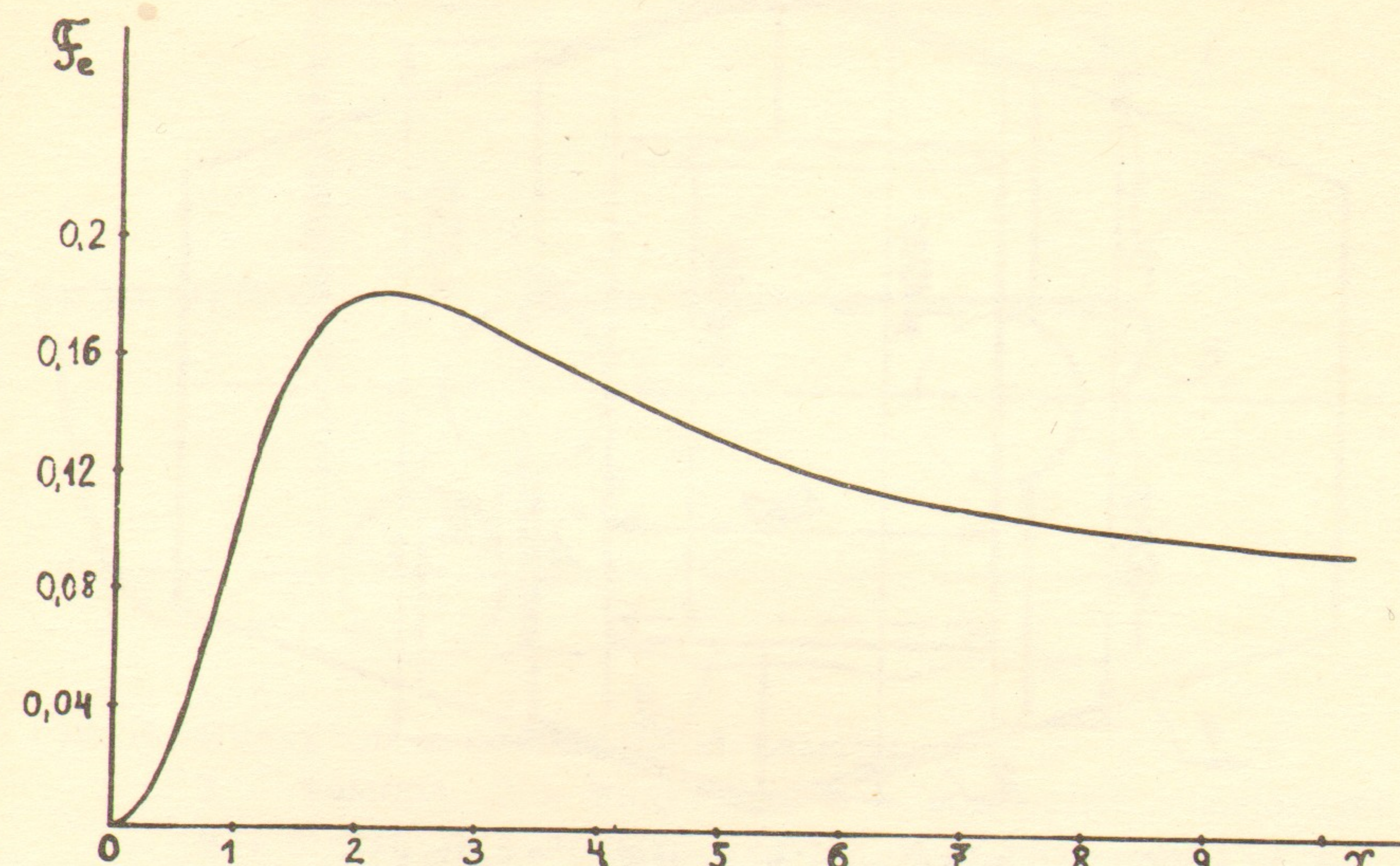


Рис.1. Зависимость мощности нагрева электронов от частоты переменного магнитного поля.

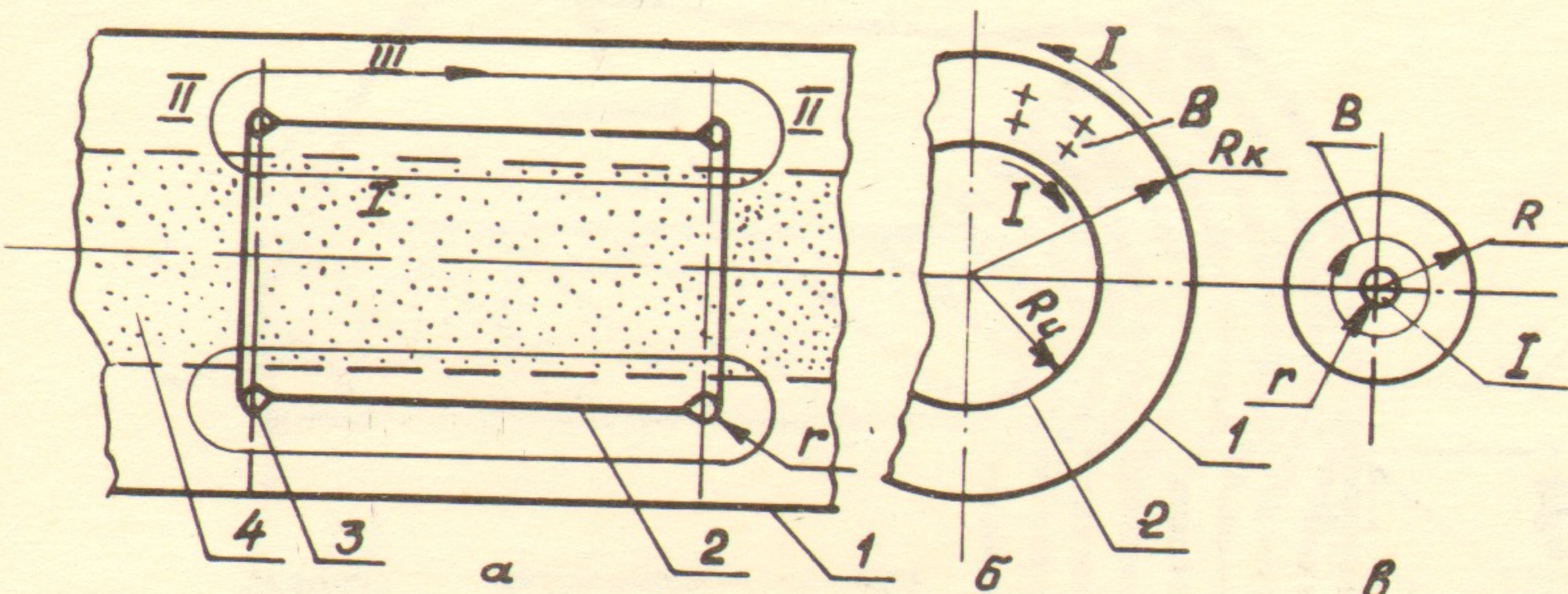


Рис.2. Схема устройства гиорелаксационного нагрева плазмы: а) продольный разрез, б) поперечный разрез, в) аппроксимация кромок индуктора коаксиалом.
 1 – вакуумная камера, 2 – индуктор, 3 – кромка индуктора, 4 – плазма, В – магнитное поле, \mathcal{I} – электрический ток, $R = R_k - R_u$ – радиус воображаемого обратного проводника коаксиала.

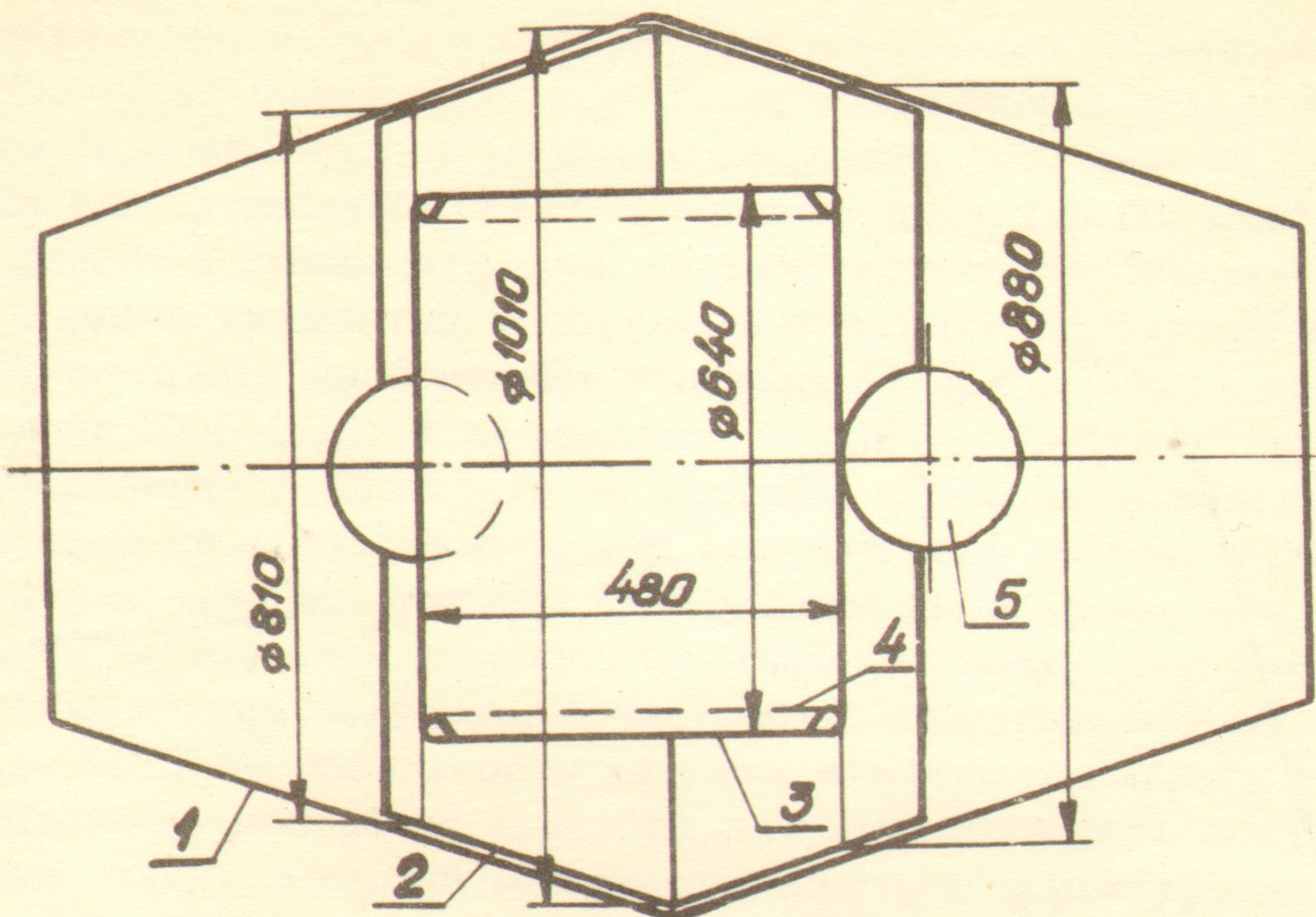


Рис.3. Индуктор в камере установки "АМБАЛ".

1 - центральная часть камеры, 2 - медный экран,,
3 - индуктор , 4 - ниобиевые ленты, 5-окно камеры.

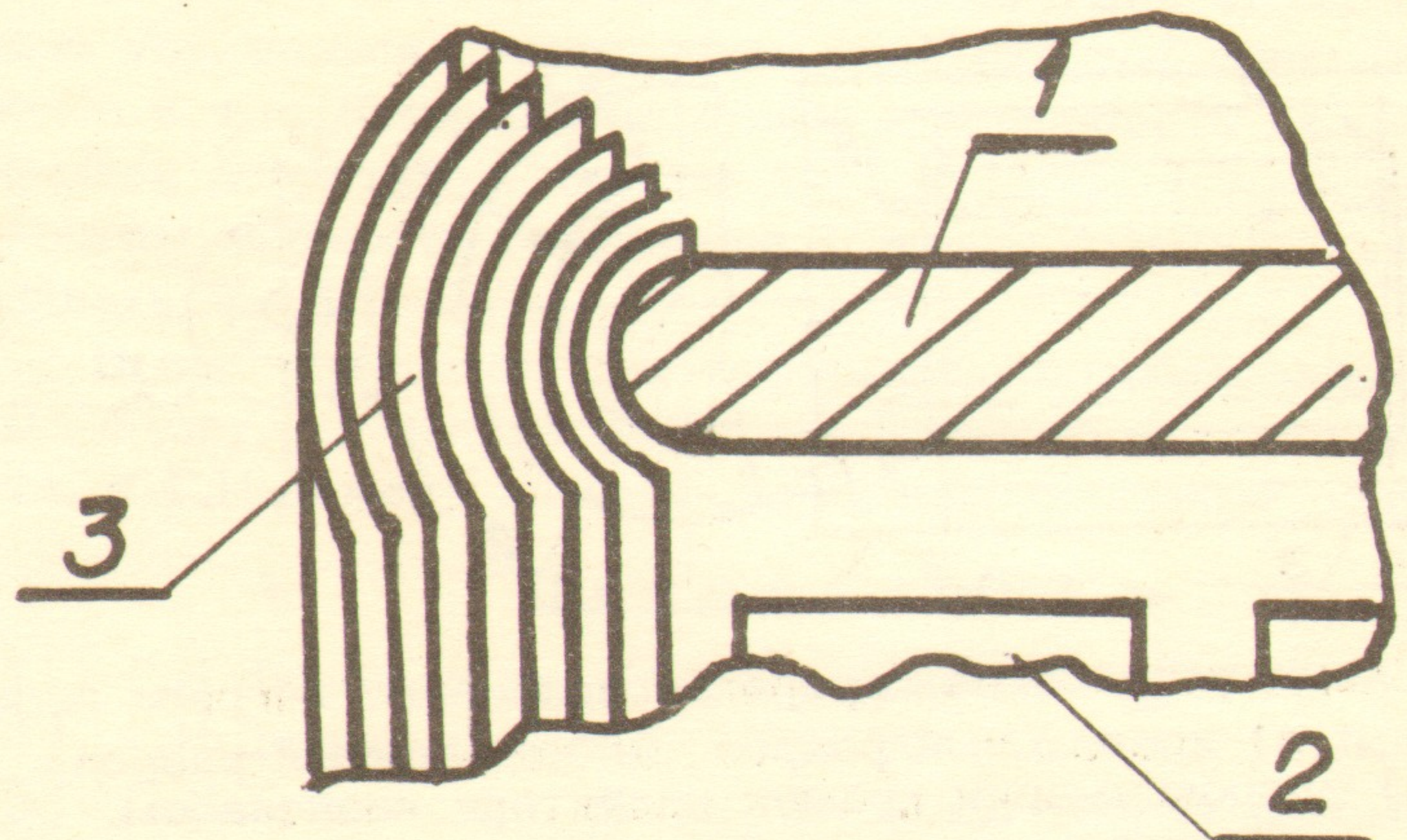


Рис.4. Кромки индуктора в виде вакуумной катушки из профильной ленты.

1 - индуктор, 2 - ниобиевая лента, 3 - катушка.

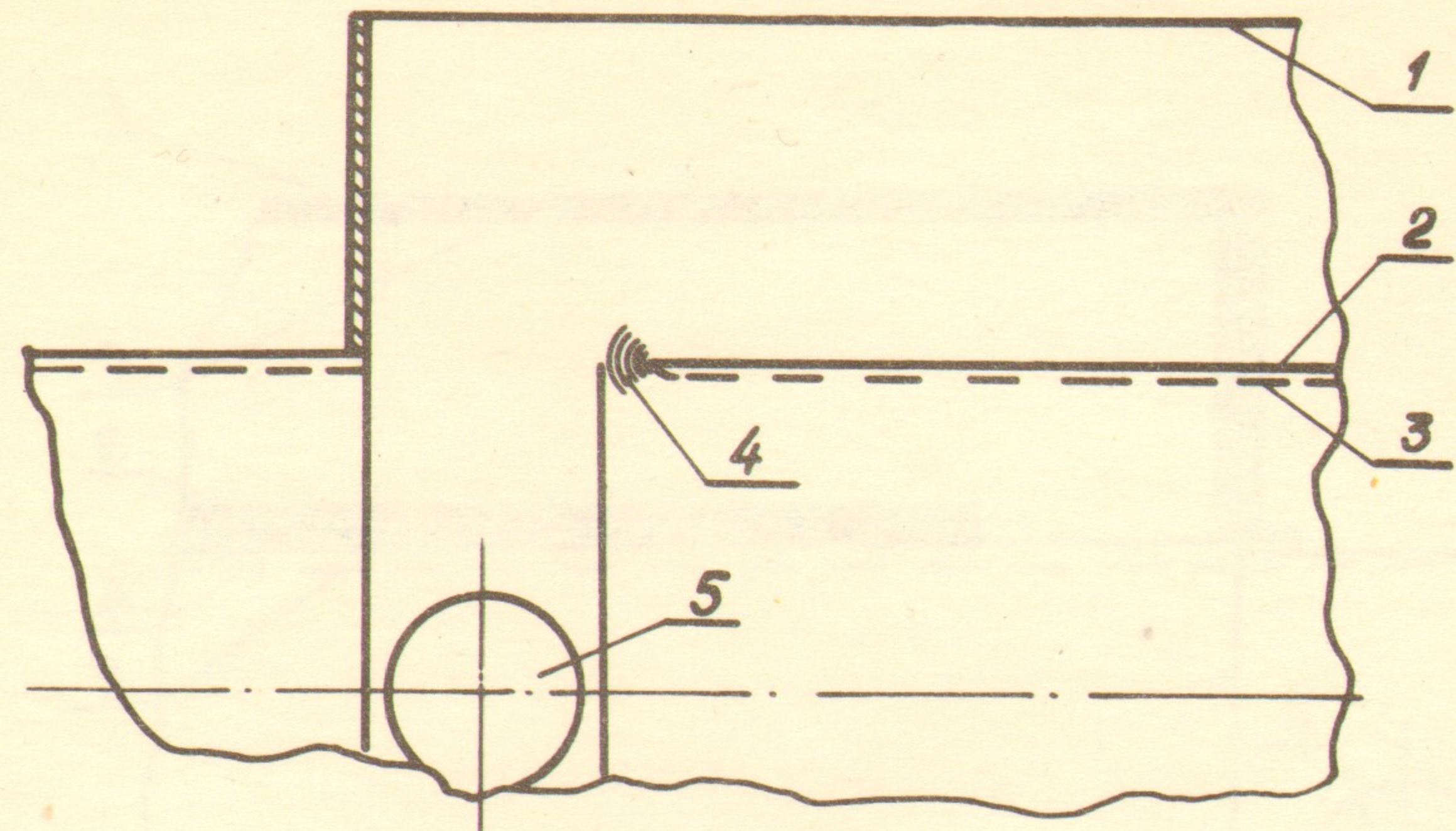


Рис.5. Индуктор в специальной камере.

1 - камера, 2 - индуктор, 3 - водородопоглощающие элементы, 4 - кромка индуктора в виде вакуумной катушки (рис.4), 5 - окно камеры.

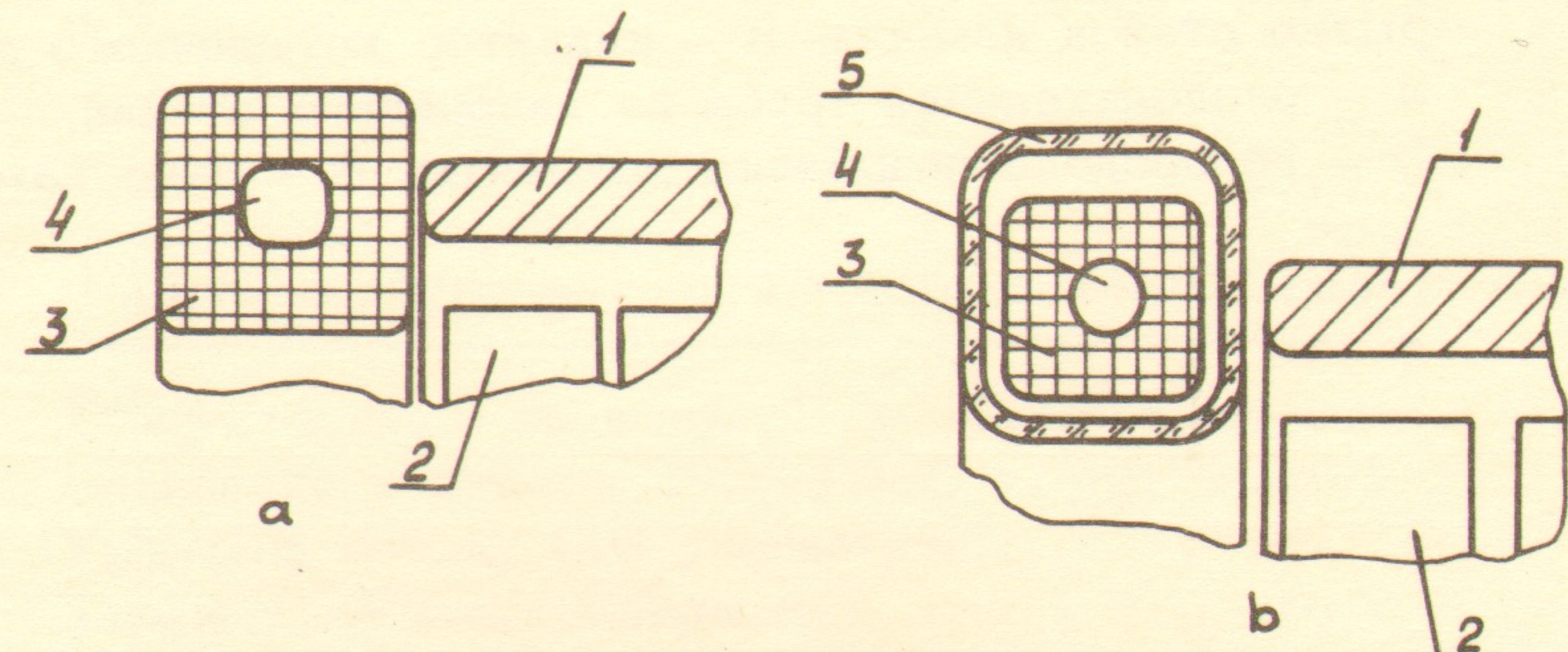


Рис.6. Варианты исполнения кромок индуктора в виде катушек.

1 - индуктор, 2 - ниобиевая лента, 3 - катушка,
4 - канал охлаждения, 5 - диэлектрический тор.

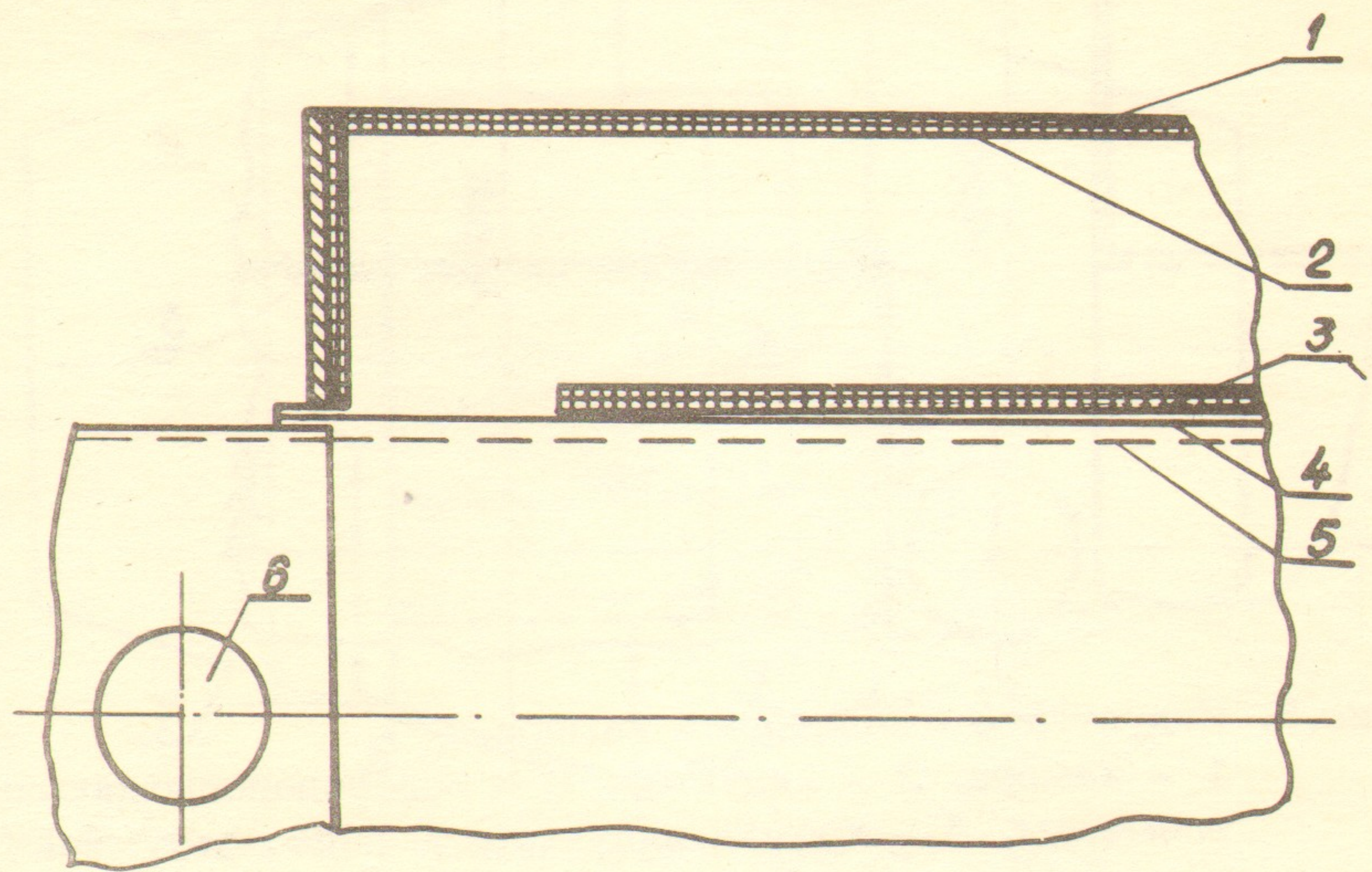


Рис. 7. Устройство с разделительной трубой.

- 1 - камера,
- 2 - многовитковое токопроводящее покрытие стенок камеры,
- 3 - индуктор катушечного типа,
- 4 - разделительная труба из кварцевого стекла,
- 5 - водородопоглощающие элементы,
- 6 - окно камеры

Работа поступила - 15 апреля 1980 года

Ответственный за выпуск - С.Г.Попов
 Подписано к печати 29.У-1980 г. МН О6811
 Усл. О,8 печ.л., О,6 учетно-изд.л.
 Тираж 150 экз. Бесплатно
 Заказ № 144

Отпечатано на ротапринте ИЯФ СО АН СССР